

**ПРИМЕНЕНИЕ СЛУЧАЙНОГО ПОИСКА
В ОДНОЙ ЗАДАЧЕ
НЕЛИНЕЙНОГО ПРОГРАММИРОВАНИЯ**

В. В. ЗАХАРОВ, В. П. ИВАНЧЕНКОВ, В. А. ФИЛИНОВА

(Представлена научным семинаром лаборатории вычислительной техники
и автоматизации НИИ ЯФ ЭА)

Для решения задач нелинейного программирования небольшой размерности и с небольшим числом ограничений кажется естественным привлекать методы статистического поиска, обеспечивающие простые машинные алгоритмы. В настоящей статье предлагается применить для этого метод случайного поиска [1] в рамках одной схемы функций штрафа [2].

1. Постановка задачи

Пусть $F(x)$ и $f_j(x)$ ($j \in I$, $I = \{1, 2, \dots, m\}$) — выпуклые функции векторного аргумента $x = (x_1, \dots, x_n)$. В работе рассмотрена задача: найти

$$\min_x \{F(X) \mid f_j(X) \geq 0, j \in J\}. \quad (1)$$

Следует подчеркнуть, что сходимость рассматриваемого варианта метода штрафных функций доказана в [3] для выпуклых функций F, f_j . Тем не менее в этой же работе были рассмотрены примеры решения невыпуклых задач «хорошего поведения», т. е. таких, в которых кривизна поверхностей $F(x) = \text{const}$, $f_j(x) = \text{const}$ не была слишком большой. Метод функций штрафа был выбран в настоящей работе в сочетании со случайным поисковым движением по той причине, что он позволял надеяться на приближенное решение рассматриваемой далее практической задачи, в отношении выпуклости которой не было уверенности.

2. Описание метода

Решение задачи в [2], [3] сводится к поэтапной минимизации функции

$$A_m(X) = \sum_{j=1}^m |f_j(X)|, \quad (2)$$

представляющей собой штраф за приближение к границе области определения R функции $F(X)$.

В настоящей работе на $(k+1)$ -м этапе поиска $\min_{X \in R} A_m(X)$ (область $R = \{f_j(X) \geq 0, j \in J\}$) функция (2) дополнялась ограничением:

$$f_{m+1}(X) = F(X^{0k}) - F(X) \geq 0,$$

где X^{0k} — точка траектории поиска на k -м этапе, в которой функция $A_{m+1}(X) = A(X)$ достигает наименьшего значения.

Модификация использованного метода штрафа состояла еще в том, что на k -м этапе не ставилась задача отыскания $\min A(X)$ с большой точностью. Более того, выход из k -го этапа минимизации происходил тогда, когда разрешающая способность метода случайного поиска (шаг метода) уменьшалась до некоторой фиксированной величины τ .

3. Алгоритм

Рассмотрим алгоритмическую реализацию метода на некотором, k -м этапе. Основной задачей этапа является получение точки $X^{0,k+1}$ такой, что $F(X^{0,k+1}) < F(X^{0k})$. Спуск к этой точке осуществляется по поверхности штрафа $A(X)$ методом случайного поиска с шагом τ . Не трудно видеть, что $f_{m+1}(X^{0k}) = 0$ и $A(X^{0k}) = +\infty$. Поэтому неравенство для дополнительного $(m+1)$ -го ограничения имеет смысл взять в виде

$$f_{m+1}(X) = F(X^{0k}) - F(X) + \varphi \geq 0,$$

где $\varphi > 0$.

Теперь уже можно искать $\min A(X)$ методом случайного поиска. В соответствии с известным алгоритмом случайного поиска с пересчетом [1] принимаем точку X^k за начальную точку траектории поиска на k -м этапе: $X^k \equiv X_0^k$. В кубической окрестности точки (ребро куба равно τ) X_0^k производим равномерное рассеяние точек до тех пор, пока не найдется хотя бы одна из них, в которой значение $A(X)$ меньше, чем $A(X_0^k)$. Обозначим эту удачную точку через X_1^k , вновь примем ее за центр куба с ребром τ и вновь будем производить равномерно распределенные испытания в этом кубе и т. д.

Для параметра τ введем адаптацию к условиям поиска: величину τ будем уменьшать в q раз, если нарушено хотя бы одно из $(m+1)$ ограничений; величину τ будем увеличивать в q раз в противном случае. Начальное значение полагалось равным τ . Если выполнялось $\tau < \underline{\tau}$, то k -й этап считался оконченным и полагалось $X_L^k = X^{k+1}$, причем, очевидно,

$$A(X^k = X_0^k) > A(X_1^k) > \dots > A(X_{L-1}^k) > A(X_L^k = X^{k+1}).$$

Можно предположить (и практические вычисления это подтверждают), что на заключительных этапах поиск будет происходить в узком овраге. Вследствие этого в кубе с центром X_i^k необходимо провести чрезвычайно много испытаний, прежде чем выполнится $A(X_i^k) > A(X_{i+1}^k)$. Против такой ситуации введено следующее видоизменение вычислительного алгоритма. Если количество испытаний в окрестности X_i^k превысило N_s (заикливание), то из точки X_0^k производится вторично спуск по описанному алгоритму до тех пор, пока не выполнится

$\tau < \underline{\tau}$ (т. е. естественное окончание этапа) либо вновь произойдет за-
цикливание в точке $X_{l_2}^k$. Пусть $A(X_{l_2}^k) < A(X_{l_1}^k)$. В этом случае в ка-
честве X_L^k выбирается точка

$$X_L^k = \frac{X_{l_2}^k - X_R^k}{2},$$

где точка X_R^k есть точка пересечения границы области R с прямой $X_{l_2}^k X_{l_1}^k$ в направлении убывания $A(X)$ вдоль этой прямой. На этом k -й этап также оканчивается.

Вся процедура решения задачи (1) продолжается до тех пор, пока не будет исчерпано заданное заранее количество вычислений функции $F(X)$, равное N .

4. Блок-схема и ее описание

Более детально строение алгоритма можно уяснить из приводимой блок-схемы. Поясним ее.

Блок 1 осуществляет формирование команд программы с учетом числа переменных n и числа ограничений m .

Блок 2. Признак d определяет номер спуска из начальной точки X_L^k ; если $d=1$, то из точки X_L^k спуск совершен уже дважды. Рабочий шаг τ в начале k -го этапа поиска принимает значение, равное τ . В блоке 2 вычисляются начальные значения $F(X)$ и $A(X)$.

Блок 3. Точка X^k — центр поиска на k -м этапе. Начальное значение X^k равно X_0^k .

Блок 4. Счетчик (τ) необходим для подсчета числа последовательных точек, в которых $A(X^\xi) > A(X_{l_1}^k)$, где X^ξ — случайная, равномерная распределенная точка в кубе с центром $X_{l_1}^k$.

Блоки 5—6. производят вычисление $f_j(X_{l_1}^k)$. Если условие $f_j(X^\xi) \geq 0$ не выполняется, то шаг τ уменьшается в q раз (блок 17).

Блок 7. Счетчик (F) контролирует число вычислений $F(X)$, если $cg(F) = N$, то происходит печать найденных F_{\min} и X_{\min} . Поиск прекращается (блок 18).

Блоки 8—9. M — текущее минимальное значение $F(X)$, X^M — точка, соответствующая M .

Блок 10. Рабочий шаг τ увеличивается в q раз, если для точки X выполнилось m ограничений.

Блок 11 проверяет: $A(X^\xi) < A(X_{l_1}^k)$. Если да, то → блок 26: $A(X_{l_{i+1}}^k) := A(X^\xi)$, $X_{l_{i+1}}^k := X^\xi$, иначе $cg(\tau) := cg(\tau) + 1$.

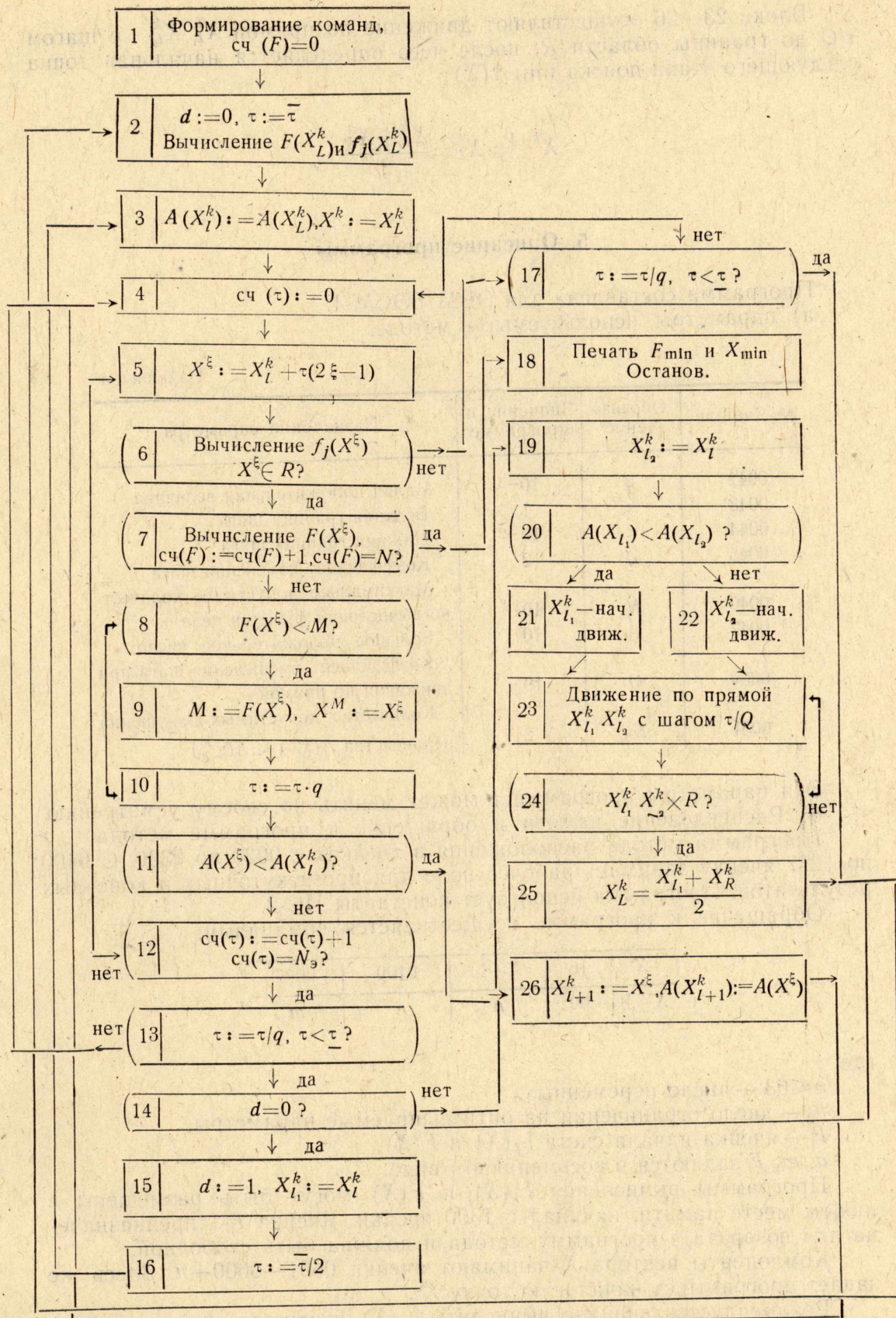
Блоки 12—16. Если $cg(\tau) = N_3$, то шаг τ уменьшается в q раз, иначе (в блоке 14) проверяется: $d=0$?

Если да, то $X_{l_1}^k := X^k$ и $d=1$.

С шагом $\tau = \tau/2$ еще раз осуществляется спуск до получения точки $X_{l_2}^k$.

Блоки 19—22. Если $d \neq 0$, то $X_{l_2}^k := X_{l_1}^k$.

Делается проверка $A(X_{l_1}^k) < A(X_{l_2}^k)$, чтобы выбрать направление движения по прямой $X_{l_1}^k X_{l_2}^k$.



Блок-схема алгоритма

Блоки 23—26 осуществляют движение по прямой $X_{L_1}^k, X_{L_2}^k$ с шагом τ/Q до границы области R , после чего определяется начальная точка следующего этапа поиска $\min A(X)$:

$$X^{k+1} = X_L^k = \frac{X_{L_1}^k + X_{L_2}^k}{2}.$$

5. Описание программы

Программа составлена для ЭВМ БЭСМ-4.

а) параметры, используемые в методе.

Т а б л и ц а

№ Ячейки	Обозначение	Значение в программе	Назначение параметра
0042	φ	10^{-5}	Малая положительная величина
0043	τ	1	Верхняя граница шага
0044	τ	10^{-2}	Нижняя граница шага
0045	q	2	Коэффициент изменения шага
0046	N	10^3	Максимально допустимое количество вычислений функции цели
0047	A	10^5	Большое положительное число
0050	Q	10	Коэффициент уменьшения шага при движении по прямой
0051	N_ε	2	Количество допустимых нарушений неравенства $A(x^\xi) < A(x^\kappa)$

Эти параметры программист может менять по своему усмотрению.

б) Распределение памяти и обращение к программе метода.

Программа метода расположена в ячейках с 0030 по 0330. С 0400 по 1277 ячейку занимает рабочее поле для промежуточных и конечных результатов. Программа использует константы ИС-2.

Обращение к программе осуществляется командами:

X	16	$X+1$	0100	0077
$X+1$	00	n	F	m

где

$n \leq 63$ — число переменных,

m — число ограничений на оптимизируемые параметры,

F — ячейка начала счета $f_j(X)$ и $F(X)$,

n, m, F задаются в восьмеричном виде.

Программы вычисления $f_j(X)$ и $F(X)$ могут быть размещены в любом месте памяти, начиная с 1300 ячейки. Ячейка $F-1$ предназначена для возврата в программу метода и должна быть свободной.

Компоненты вектора X занимают ячейки 0601—0600+ n . Здесь же задает программист начальную точку X^0 .

Рекомендуется вначале вычислить $f_j(X)$ и занести эти значения в ячейки 2701—2700+ m , затем проверить $f_j(X) \geq 0, j \in J$. Если хотя бы одно из ограничений не выполнилось, необходимо передать управление

в ячейку 0076, иначе вычислять $F(X)$. Значение $F(X)$ необходимо записать в 0600 ячейку. По окончании счета $F(X)$ передать управление в ячейку $F-1$.

Текущее минимальное значение функции и точка, ему соответствующая, хранятся в ячейках $0400-0400+n$. Рабочий шаг τ хранится в 0060 ячейке.

6. Пример применения метода к производственной задаче

Задача состояла в определении параметров тракта транспортировки заряженных частиц одного ускорителя, оптимальных с точки зрения минимума стоимости конструкции в целом. Тракт состоял из 13 участков: 7 квадрупольных линз и 6 участков дрейфа частиц. Каждый участок однозначно определяется набором параметров в [4]

$$k_i, l_i, \beta_i, \alpha_i, \gamma_i \quad (i=1,13).$$

Величины $\beta_i, \alpha_i, \gamma_i$ вычисляются по следующим формулам. Для горизонтальной плоскости фокусировки линз:

$$\beta_i = \gamma_{0i} \sin^2 \Theta_i - 2\alpha_{0i} \frac{1}{\sqrt{k_i}} \sin \Theta_i \cos \Theta_i + \beta_{0i} \cos^2 \Theta_i,$$

$$\alpha_i = \gamma_{0i} \frac{1}{\sqrt{k_i}} \cos \Theta_i \sin \Theta_i + \alpha_{0i} (\cos^2 \Theta_i - \sin^2 \Theta_i) + \beta_{0i} \sqrt{k_i} \sin \Theta_i \cos \Theta_i,$$

$$\gamma_i = \gamma_{0i} \cos^2 \Theta_i + 2\alpha_{0i} \sqrt{k_i} \cos \Theta_i \sin \Theta_i + \beta_{0i} k_i \cos^2 \Theta_i, \quad (i=1, \dots, 7).$$

Для участков дрейфа пучка частиц:

$$\left. \begin{aligned} \beta_i &= \beta_{0i} - 2\alpha_{0i} l_i + \gamma_{0i} l_i^2, \\ \alpha_i &= \alpha_{0i} - \gamma_{0i} l_i \\ \gamma_i &= \gamma_{0i} \end{aligned} \right\} \begin{aligned} &k=0. \\ &(i/2=1, \dots, 6). \end{aligned}$$

Для вертикальной плоскости фокусировки линз:

$$\beta_i = \gamma_{0i} \frac{1}{k_i} \operatorname{ch}^2 \Theta_i - 2\alpha_{0i} \frac{1}{\sqrt{k_i}} \operatorname{ch} \Theta_i \operatorname{ch} \Theta_i + \beta_{0i} \operatorname{ch}^2 \Theta_i,$$

$$\alpha_i = -\gamma_{0i} \frac{1}{\sqrt{k_i}} \operatorname{ch} \Theta_i \operatorname{ch} \Theta_i + \alpha_{0i} (\operatorname{ch}^2 \Theta_i + \operatorname{ch}^2 \Theta_i) - \beta_{0i} \sqrt{k_i} \operatorname{ch} \Theta_i \cdot \operatorname{ch} \Theta_i,$$

$$\gamma_i = \gamma_{0i} \operatorname{ch}^2 \Theta_i - 2\alpha_{0i} \sqrt{k_i} \operatorname{ch} \Theta_i \operatorname{ch} \Theta_i + \beta_{0i} k_i \operatorname{ch}^2 \Theta_i, \quad (i=1, \dots, 7).$$

Здесь в формулах всюду $\Theta_i = l_i \sqrt{k_i}$.

В этих обозначениях функция цели $F(X)$ имеет вид:

$$F(X) = 4 \sum_{i=1}^7 l_i \sqrt{C \cdot \beta_{\text{гор.}i}^* \cdot \beta_{\text{верт.}i}^*}, \quad C = \text{const.}$$

здесь i — номер участка тракта с линзой, $\beta_{\text{гор.}i}^*$, $\beta_{\text{верт.}i}^*$ — максимальные на участке i в вертикальной или горизонтальной плоскости фокусировки линз. Переобозначим вектор переменных

$$X = (x_1 = x_3, x_2 = k_4, x_3 = l_4, x_4 = l_6, x_5 = l_8, x_6 = l_{10}).$$

На переменные x были наложены ограничения:

$$0,09 \leq x_1 \leq 0,64; 0,09 \leq x_2 \leq 1; 4 \leq x_3 \leq 10;$$

$$4 \leq x_4 \leq 10; 4 \leq x_5 \leq 9; 4 \leq x_6 \leq 9;$$

$$\sum_{i=3}^6 X_i = 31,92.$$

Остальные параметры не менялись.

Для действующего тракта значения переменных были равны:

$$x_1 = x_2 = 0,438; x_3 = 8; x_4 = 7,96;$$

$$x_5 = 7,96; x_6 = 8; F(X) = 0,08230.$$

После минимизации $F(X)$ изложенным выше методом получили:

$$F(X) = 0,00135;$$

$$x_1 = 0,184; x_2 = 0,375; x_3 = 5,084;$$

$$x_4 = 8,460; x_5 = 8,895; x_6 = 9,480.$$

Машинное время, затраченное на поиск $F(X^*) = 0,00135$ из данной начальной точки, составило примерно 13 мин. Подходящий результат методом случайного поиска без всяких модификаций ранее был получен за 4 часа работы БЭСМ-4.

Алгоритм метода в том виде, как он приведен на блок-схеме, довольно чувствителен к оврагам, поэтому когда к имевшимся ограничениям были добавлены еще ограничения $\beta_7(X) \leq 0,0833$; $\gamma_7(X) \leq 33,3$, имевшие ярко выраженный овражный вид, то метод быстро зацикливал.

Таким образом, для повышения эффективности метода следует увеличить его разрешающую способность в овражной ситуации.

Приложение

Программа метода

0100		56	—	0303	0056	1	1	32	0001	0130	7777
1	4	55	—	7734	0072	2		00	—	—	0062
2	1	14	0064	0072	0072	3		72	—	0072	—
3	4	55	—	7732	0073	4		54	0107	0040	0053
4	4	55	—	7731	0074	5		07	0053	0040	0053
5		14	0114	0074	0074	6		13	0041	0053	0053
6		00	0047	—	0400	7		23	0053	—	0040
7		00	—	—	0067	0140		05	7762	0040	0054
0110		00	—	—	0061	1		02	0054	7761	0054
1		72	—	0072	—	2		05	0054	0060	0054
2	5	00	0600	—	0500	3	3	01	0054	0700	0600
3	1	32	0002	0112	7777	4	1	32	0002	0134	7777
4		00	—	—	0063	5		72	—	0073	—
5		00	0043	—	0060	6	3	16	0147	—	7777
6		72	—	0073	—	7		01	7761	0067	0067
7	3	16	0120	—	7777	0150		15	0067	0046	—
0120		56	0600	0300	0500	1		36	—	0272	—
1	2	04	7761	2700	0075	2		02	0600	0400	—
2		01	0075	0065	0065	3		76	—	0157	0070

3	1	32	0002	0121	7777	4		72	—	0072	—
4		04	7761	0042	0075	5	5	00	0600	—	0400
5		01	0075	0065	0065	6	1	32	0001	0155	7777
6		00	0065	—	0064	7		05	0060	0045	0060
7		72	—	0072 _q	—	0160		72	—	0074	—
0130	5	00	0500	—	0700	1	2	04	7761	2700	0075
2		01	0075	0070	0070	0220		00	—	—	—
3	1	32	0002	0161	7777	1		72	—	0072	—
4		02	0700	0600	0075	2	5	00	0700	—	1100
5		01	0075	0042	0075	3	1	32	0002	0222	7777
6		56	—	0312	—	4		04	0060	0050	0060
7		01	0075	0070	0070	5		02	0066	0064	—
0170		02	0070	0064	—	6		36	—	0235	—
1		76	—	0177	—	7		00	—	—	—
2		72	—	0072	—	0230		72	—	0072	—
3	5	00	0600	—	0700	1	4	00	1000	—	0075
4	1	32	0001	0173	7777	2	5	00	1100	—	1000
5		00	0070	—	0064	3	1	00	0075	—	1100
6		56	—	0132	—	4	1	32	0002	0231	7777
7		01	0062	7761	0062	5		72	—	0072	—
0200		15	0062	0051	—	6	5	00	1000	—	0600
1		36	—	0203	—	7	5	01	0600	0060	0600
2		56	—	0133	—	0240	6	02	0600	1000	0075
3		04	0060	0045	0060	1	6	02	1077	0777	0057
4		02	0060	0044	—	2		05	0057	0075	0057
5		36	—	0207	—	3	6	02	1100	1000	0075
6		56	—	0132	—	4		04	0057	0075	0075
7		15	0063	—	—	5	3	01	0075	0777	0577
0210		76	—	0221	—	6	1	32	0003	0240	7777
1		00	7761	—	0063	7		00	0310	—	0076
2		72	—	0072	—	0250		16	0251	0145	0157
3	5	00	0700	—	1000	1		00	—	—	—
4	1	32	0002	0213	7777	2		72	—	0072	—
5		00	0064	—	0066	3	5	00	0600	—	1200
6		04	0043	7762	0060	4	1	32	0002	0253	7777
7		56	—	0126	—	5		72	—	0072	—
6		56	—	0237	—	3		36	—	0266	—
7		00	0311	—	0157	4		04	7761	0075	0075
0260		72	—	0072	—	5		01	7761	0056	0056
1	6	01	1000	1200	0075	6		56	—	0167	—
2	1	04	0075	7762	0600	7		15	1001	0701	—
3	1	32	0002	0261	7777	0320		36	—	0323	—
4		01	0061	7761	0061	1		72	—	0072	—
5		56	0307	0111	0076	2		56	—	0222	—
6		04	0060	0045	0060	3		04	0060	7760	0060
7		02	0060	0044	—	4		56	—	0126	—
0270		76	—	0132	—						
1		56	—	0207	—						
2		72	—	0072	—						
3		16	0274	7501	7610						
4	1	72	0400	0027	0400						
5		16	0276	7501	7610						
6		72	0060	0027	0063						
7		77	—	—	—						
0300		72	—	0074	—						

1	56	—	0121	0065
0302	00	—	—	—
3	16	0304	7501	7610
4	52	0042	0042	0051
5	72	—	0077	—
6	56	0307	0101	0076
7	16	—	0266	—
0310	16	—	0257	—
1	05	0060	0045	0060
2	02	0075	—	—

ЛИТЕРАТУРА

1. Л. А. Растрингин. Статистические методы поиска. М., «Наука», 1968.
2. C. W. Carroll. The CRST for Optimizing Nonlinear Restrained systems. *Opns. Res.*, v. 9, № 2, 1961.
3. A. V. Fiasso, G. P. Mc Cormick. Computational Algorithm for SUMT for Nonlinear programming. *Manag. Sc.*, v. 10, № 4, 1964.
4. В. П. Иванченков. Вопросы применения корреляционно-экстремальных систем в задачах электронной оптики. Диссертация. Томск, 1969.